

PAPER DETAILS

TITLE: BANKA KARTI, KREDİ KARTI VE INTERNETTEN KART İLE YAPILAN ÖDEMELERİN SEKTÖREL DAĞILIMININ ORTOGONAL (DİKEY) VE DIAGONAL (KÖSEGEN) MATRİSLER İLE ANALİZİ

AUTHORS: Sonat BAYRAM,Gökhan SÖNMEZLER,Orcun GÜNDÜZ

PAGES: 1063-1084

ORIGINAL PDF URL: <https://dergipark.org.tr/tr/download/article-file/1317640>

**BANKA KARTI, KREDİ KARTI VE İNTERNETTEN KART İLE
YAPILAN ÖDEMELERİN SEKTÖREL DAĞILIMININ ORTOGONAL
(DİKEY) VE DİAGONAL (KÖŞEGEN) MATRİSLER İLE ANALİZİ**
*ANALYSIS OF SECTORAL DISTRIBUTION OF BANK CARD, CREDIT CARD
AND INTERNET CARD PAYMENTS WITH ORTOGONAL (VERTICAL) AND
DIAGONAL (CORNERS) MATRIX*

Sonat BAYRAM^{*}, Gökhan SÖNMEZLER^{}, İsmail Orçun GÜNDÜZ^{***}**

Geliş Tarihi: 30.09.2020

Kabul Tarihi: 17.11.2020

(Received)

(Accepted)

ÖZ: Banka Kartı, Kredi Kartı ve İnternetten Kart ile Yapılan Ödemelerin enflasyondan arındırılmış (real) değerleri ile (2003-2020) yılları arasındaki sektörel bileşimini ortaya koymak, benzeşen ve ayıran sektörleri tespit ederek ödeme sistemlerinin etkinliğinin arttırılmasını sağlamak maksadıyla, korelasyon matrisleri ile İkili Yükler (Orthogonal (Dikey) ve Diagonal (Köşegen)) matrisler oluşturulmuştur. Matrislerden elde edilen özdeğerler, özvektörler (yükler) ve sıradan korelasyon sonuçları ikili yük grafik düzleminde birleştirilerek ve Mahalanobis mesafeleri kullanılarak sütunların şekilleri özdeğerlere eşitlenmekte ve vektörler arasındaki açıların kosinusları değişkenler arasındaki korelasyonlara eşit olacak şekilde gözlem ölçeklendirmesi olmadan, sonuçlar yalnızca sabit bir orantılılık içerisinde yorumlanmaktadır. Özdeğerler, değerler, özdeğerlerdeki ileriye doğru fark, açıklanan toplam varyans oranı gibi sonuçlar ışığında, kart ile ödeme yapılan sektörlerden bazlarının diğer sektörlerden ciddi ölçüde ayırtıldığı ve pozitif veya negatif yükler (varyanslar) taşıyarak kümeleniği tespit edilmiştir.

Anahtar Kelimeler: Banka Kartı, Kredi Kartı, İnternetten Kart ile Ödeme, Ortogonal Matris, Diagonal Matris, İkili Yükler Grafiği

ABSTRACT: In order to reveal the sectoral composition between the years (2003-2020) with the inflation-free (real) values of the Payments made by Debit Card, Credit Card and Internet Card, and to increase the efficiency of payment systems by identifying similar and differentiated sectors, Binary Loads (Orthogonal (Vertical) and Diagonal (Diagonal) matrices are created. The eigenvalues, eigenvectors (charges) and ordinary correlation results obtained from the matrices are combined in the plane of the binary load graph and the shapes of the columns are equalized to the eigenvalues using Mahalanobis distances, and without observation scaling so that the cosines of the angles between the vectors are equal to the correlations between the variables, the results are interpreted only in a constant proportionality. In the light of results such as eigenvalues, values, forward difference in eigenvalues, and the total variance ratio explained, it was determined that some of the sectors paid by card differ significantly from other sectors and clustered by carrying positive or negative loads (variances).

* Dr. Öğr. Üyesi, Trakya Üniversitesi, sonatbayram@gmail.com, ORCID: 0000-0001-9885-8707.

** Prof. Dr., Trakya Üniversitesi, gokhansonmezler@yahoo.com, ORCID: 0000-0002-4301-6008.

*** Prof. Dr., Trakya Üniversitesi, orcungunduz@trakya.edu.tr, ORCID: 0000-0002-8754-2915.

Key Words: Debit Card, Credit Card, Online Card Payment, Orthogonal Matrix, Diagonal Matrix, Orthonormal Loadings Biplot

1. GİRİŞ

Kart ile ödeme sistemlerinin sektörle bileşiminin incelenmesi yoluyla, sektörler arasındaki benzerlikler ve farklar ortaya konularak, diğer sektörlerden ayrılan sektörlerin incelenmesi yoluyla, söz konusu sektörler açısından iyileştirici ve geliştirici önlemler öngörmek mümkün olabilecektir. Bu noktada, özellikle Türkiye'de ilk Covid-19 vakasının görüldüğü tarih olan 11 Mart 2020 ile Nisan 2020 dönemi arasında kart kullanımında görülen ortalama düşüş %29,15 düzeyindedir. Söz konusu düşüşün en ciddi hissedildiği sektörler Havacılık, konaklama, kumarhane/çekili yerler ve seyahat acenteleri/taşımacılık sektörleri olmuştur. Sektörlerin kart kullanım dinamikleri açısından aralarındaki ilişkinin ortaya konması, bankaların kart kullanımında verimliliğin arttırılmasında önemli bir katkı sunacaktır.

Tarihsel veriler kullanılarak, sektörel varyanslar tespit edilebilecek böylece sektörlerin dönemsel olarak yaşadığı dalgalandırmalar veya riske açıklik derecesi belirlenebilecek, birlikte hareket eden veya ayrısan sektörler tespit edilerek söz konusu kümelenmenin sebepleri ortaya konabilecektir. Son zamanlarda geliştirilen bilgi erişim teknolojileri sayesinde, bir vektör uzayı kavramına dayanarak, veriler bir matris olarak modellenebilmekte ve her bir vektör ile bununla ilişkili veriler, basit vektör işlemleriyle tanımlanabilmektedir. Söz konusu matrislerin ortogonal çarpanlara ayrılması yoluyla, veriler arasındaki belirsizlikleri ele almak için mekanizmalar sağlanmaktadır (Berry, Drmac & Jessup, 1999: 335).

Çalışmada kullanılan ve verilerin özdeğerlerinin hesaplanarak kullanılmasını temel alan algoritma, Zhao vd. (2020: 9457-9468) tarafından spektrum algılama algoritmaları ile alınan sinyal kovaryans matrisinin özdeğerleri kullanılarak sinyallerin işlenmesi çalışmalarında da kullanılmıştır. Özdeğerler (Eigenvalues), sinyal korelasyonlarını iyi yakaladığı için üstün performans ve sağlamlık elde etmektedirler. Bu algoritmalar çoğunlukla, rastgele matris teorisinin son sonuçlarından yararlanarak özdeğerlerin istatistiksel dağılımını dikkate almaktadırlar. Benzer şekilde, Neo ve Naylor (2019: 8043-8047) tarafından yapılan çalışmada, hermit matrislerinin Özdeğer Ayırımı (Eigenvalue Decomposition)(EVD), veri sıkıştırma için alt uzay ayırmayı, [1] gürültü azaltmayı [2], spektral kestirim [3], kör kaynak ayrimı [4] gibi birçok önemli sinyal işleme uygulamasında yaygın olarak kullanılmaktadır.

Çalışmada kullanılan bileşen yükleri grafikleri, Filiz & Kolukışaoğlu (2012: 364) tarafından yapılan çalışmada, lokanta müşterilerinin memnuniyetini ölçümlemek üzere, grafik üzerinde orijinden uzaklaşan, aynı yönde ve ters yönde hareket eden değişkenlerin ilişki düzeylerini, ilişkinin gücünü ve analiz açısından önemini yorumlamada kullanılmıştır.

2. LİTERATÜR ARAŞTIRMASI

Türkiye'de yapılan çalışmalarla genellikle kart kullanımı ile demografik ve ekonomik faktörler arasındaki ilişkiler ortaya konmaya çalışılmış, bu nedenle kart sayısı, kredi kartı borcu ve finansal bilgi eksikliği gibi faktörler arası ilişkiler incelenmiştir (Yılmaz, Budak & Başaran, 2013: 34). Chou, Lee & Young (2004: 1423) tarafından yapılan çalışmada, dört e-ödeme sisteminin (kredi kartı, depolanmış değer kartı, akıllı kart ve telekomünikasyon faturası) performansını değerlendirmek için nicel bir karar verme yöntemi olan analitik hiyerarşî sürecini (AHP) kullanılmıştır. Sonuçlar, saklanan değer kartının dikkate alınan dört seçenek arasında en yüksek performansa sahip olduğunu göstermektedir. Bulguları ayrıca, kredi kartı gibi bir ödeme alternatifinin teknolojik olarak kusurlu olabileceğini, ancak yerleşik bir müşteri tabanının avantajı nedeniyle yine de fiili e-ödeme planı haline gelebileceğini göstermektedir. Bu, kritik bir müşteri tabanı kazanabilmeleri için daha yüksek ekonomik/sosyal değerlere sahip e-ödeme sistemlerine çoklu kullanımların eklenmesini önermişlerdir.

Skretting (2013: 46) tarafından yapılan çalışmada, bankacılıkta Rastgele Ortogonal Matris (ROM) simülasyonları olarak bilinen; veriye özgü, parametrik ve deterministik ROM olmak üzere 3 genel simülasyon yaklaşımı kullanılarak, deterministik ROM simülasyon tekniğinin incelenen diğer iki simülasyon aracından daha üstün olduğu ve daha iyi ve daha doğru VaR tahmini için hisse senedi portföylerinde bankalar ve diğer finansal kuruluşlar tarafından uygulanması gereği sonucuna varmıştır.

Sørensen ve Gutierrez (2006: 10) tarafından yapılan çalışmada, ülkelerin homojenlik derecesi açısından Euro Bölgesi bankacılık sektöründeki bazı temel kalıpları ve eğilimleri tespit etmek için yeni bir yumuşatma yöntemi de dahil olmak üzere kümeleme analizi teknikleri ile Mahalanobis mesafesi, grup içi kovaryans matrisi ve ölçüm vektörleri gibi mesafe ölçütleri, değişkenler arasında var olabilecek herhangi bir korelasyonu açıkça ortaya koymak üzere kullanılmıştır. Kümelenme açısından Batı ve Orta Avrupa ülkeleri (Almanya, Fransa, Belçika ve bir derecede kadar Hollanda, Avusturya ve İtalya gibi) birlikte kümelenme eğilimindeyken, İspanya ve Portekiz ve daha yakın zamanda Yunanistan'ın genellikle farklı kümeler oluşturma eğiliminde oldukları, benzer şekilde İrlanda ve Finlandiya'nın da ayrı kümeler oluşturdukları, ancak genel olarak Batı ve Orta Avrupa kümelenmesine daha yakın olma eğiliminde oldukları görülmüştür.

Darolles, Dubecq & Gouriéroux (2014: 23) tarafından yapılan çalışmada, dışsal şokların bankaların veya sigorta şirketlerinin finansal durumları üzerindeki doğrudan ve dolaylı etkilerinin nasıl çözüleceğini açıklanmıştır. Bu amaçla, hem ortak kırılganlık hem de otoregresif özelliğe sahip doğrusal dinamik bir model ele alınmış ve bulaşma matrisi, kurumların faktörlere duyarlığını tahmin etmek ve alta yatan faktör yollarını yeniden oluşturmak için kullanılmıştır. Yöntem, sırasıyla

piyasa değeri, CDS fiyatları veya defter değerlerindeki değişimle ölçülen sekiz bankaya ve mali durumlarının farklı ölçülerine uygulanmıştır. Üç farklı önlem için benzer sonuçlar beklense de, analiz sonucunda ortaya çıkan ara bağlantılar, özellikle piyasa verileri ile muhasebe verileri arasında önemli ölçüde farklılık olduğunu göstermiştir.

İbrahim, Joseph, & Ibeh (2006: 481) tarafından yapılan çalışmada, korelasyon matrisinin hesaplanması R-tipi yaklaşım kullanılmış ve sубjektif prosedür seçiminin nihayetinde analiz sonuçlarına çok az etkisi olduğuna dair empirik kanıtlar elde edilerek (Stewart, 1981: 51-62) temel bileşen modelinin kullanımına yönelikmiştir. İnceleme ve olası rotasyon için tutulması gereken faktörlerin sayısına ilişkin karar, en az 1.0 özdeğer, scree testi ve faktör başına önemli faktör yükleme sayısı dahil olmak üzere birçok kritere dayalı olarak verilmiştir (Stewart, 1981:51-62; Hair vd., 1998:30). İliksiz, basit faktör yapısı elde etmek için bu analizin ihtiyacını eğik yaklaşımından daha fazla karşılayan ortogonal rotasyonel (varimax) metodu da benimsenmiştir (Floyd ve Widaman, 1995: 286-299).

3. VERİLERİN SEÇİMİ

Araştırmada kullanılan veriler Bankalararası Kart Merkezi'nin (BKM) aylık verilerinden derlenmiştir. Verilerin öncelikle enflasyondan arındırılması için Türkiye Cumhuriyet Merkez Bankası (TCMB) Elektronik Veri Dağıtım Sisteminde (EVDS) elde edilen aylık TUGE endeks değeri ile deflate edilmiştir. TÜİK tarafından baz yıl olarak 2003=100 kabul edildiği için 2002 yılı verileri analize dahil edilmemiş, 2003-01 ile 2020-07 ayları arasındaki veriler düzey değerleri ile modele dahil edilmiştir. Modelde kullanılan değişkenlerin listesi Tablo 1'de verilmiştir.

Tablo 1. Analizde Kullanılan Değişkenlerin Listesi

Değişkenin Kısaltması	Değişken Adı	Değişkenin Kısaltması	Değişken Adı
X1	01 - ARABA KİRALAMA	X16	16 - HİZMET SEKTÖRLERİ
X2	02 - ARAC KİRALAMA-SATIŞ/SERVİS/YEDEK PARÇA	X17	17 - SIGORTA
X3	03 - BENZİN VE YAKIT İSTASYONLARI	X18	18 - YAPI MALZEMELERİ, HİRDAVAT, NALBURİYE
X4	04 - HAVAYOLLARI	X19	19 - DOĞRUDAN PAZARLAMA
X5	05 - SEYAHAT AÇENTELERİ/TAŞIMACILIK	X20	20 - ÇEŞİTLİ GIDA
X6	06 - KONAKLAMA	X21	21 - KULÜP / DERNEK / SOSYAL HİZMETLER
X7	07 - KUMARHANE/İÇKİLİ YERLER	X22	22 - EĞİTİM / KIRTASIYE / OFİS MALZEMELERİ
X8	08 - KUYUMCULAR	X23	23 - MÜTEAHİİT İŞLERİ
X9	09 - SAĞLIK/SAĞLIK ÜRÜNLERİ/KOZMETİK	X24	00 - DİĞER
X10	10 - YEMEK	X25	24 - KAMU/VERGI ÖDEMELERİ
X11	11 - GIYİM VE AKSESUAR	X26	25 - BİREYSEL EMEKLİLİK
X12	12 - MARKET VE ALIŞVERİŞ MERKEZLERİ	X27	TOPLAM
X13	13 - MOBİLYA VE DEKORASYON		
X14	14 - ELEKTRİK-ELEKTRONİK EŞYA, BİLGİSAYAR		
X15	15 - TELEKOMÜNIKASYON		

Banka Kartı İşlem Tutarı (Milyon TL), Kredi Kartı İşlem Tutarı (Milyon TL) ve İnternetten Kartlı Ödeme Tutarı (Milyon TL) Tablo 1'de belirtilen sektörel detaylar altında, enflasyondan arındırılmış aylık toplam reel değerleri ile ayrı ayrı analiz edilmiştir. Temel bileşenler analizinde X27 toplam değişkeni bütün analizlerde hariç tutulmuş ve X1-X26 arasındaki değişkenler kullanılarak, sektörel ilişkiler ortogonal ve diagonal matrisler ve korelasyon analizleri yardımıyla ortaya

konmuştur. Analize dahil edilen Banka Kartı İşlem Tutarı (Milyon TL) tanımlayıcı istatistikleri EK-1'de, Kredi Kartı İşlem Tutarı (Milyon TL) tanımlayıcı istatistikleri EK-2'de, İnternetten Kartlı Ödeme Tutarı (Milyon TL) tanımlayıcı istatistikleri EK-3'te gösterilmiştir.

4. ARAŞTIRMA MODELİNİN OLUŞTURULMASI

Banka Kartı, Kredi Kartı ve İnternetten Kartla Ödeme sistemlerinin sektörlerarası etkileşimini analiz etmek üzere korelasyon matrisleri ile ortogonal ve diagonal matrisler kullanılmıştır. Temel bileşenler analizi, değişkenlerin doğrusal kombinasyonlarını kullanarak bir dizi gözlemlenen değişkenin varyans yapısını modellemektedir. Söz konusu doğrusal kombinasyonlar veya bileşenler, karışım katsayıları ile yüklemeler aracılığıyla bileşenlerin yorumlanması kullanılmaktadır. Gözlemlenen değişkenlerin doğrusal kombinasyonları oluşturularak karmaşık verilerin azaltılması mümkün olmaktadır (Johnson & Wichern; 1992: 130-767).

Gözlenen varyans matrisinin özdeğer ayırtılmasını hesaplayarak, bir dizi değişkenin ana bileşenleri elde edilmekte. İlk ana bileşen, ilk değişkenlerin maximum varyans ile doğrusal birim uzunluk kombinasyonudur. EVIEWS programı ile serilerin korelasyon ve kovaryans matrisleri oluşturularak temel bileşenleri hesaplanmış ve elde edilen sonuçlar analiz edilmiştir. Özdeğerler ve özvektörler tablosu oluşturularak sıralı öz değerlerin çizgi grafikleri görüntülenmiş, yüklerin dağılım grafikleri ile bileşen puanları incelenmiştir.

Değerlerin ayrıştırılmasında, r sıralı veri matrisi Y değeri ile ($n \times p$) gösterilmiş;

$$Y = UDV' \quad (1)$$

Burada U ve V sol ve sağ tekil vektörlerin ortonormal matrisleri, D ise tekil değerleri içeren diagonal (köşegen) matrisi olarak tanımlanmıştır. Buradan aşağıdaki denkleme ulaşılabilir;

$$Y = AB' \quad (2)$$

Burada A bir $n \times r$ matrisi ve B ise bir $p \times r$ matrisi, r her ikisi için de sıra ve

$$A = n^{\beta/2} UD^{1-\alpha} \quad (3)$$

$$B = n^{-\beta/2} VD^\alpha \quad (4)$$

burada $0 \leq \alpha \leq 1$ sol (gözlemler) ve sağ (değişkenler) tekil vektörlerin görelî ağırlığını ayarlayan bir faktördür ve β içeren terimler ölçekleme faktörleridir ve $\beta \in \{0, \alpha\}$ dir. Puanların hesaplanmasındaki temel seçenekler A ve buna karşılık gelen yükler B , ağırlık parametresi (yükleme) α ve (gözlem) ölçekleme parametresi β seçiminin de içermektedir.

Ana bileşenler bağlamında, Σ çapraz çarpım moment (dağılım) matrisi Y olmakta ve özdeğer ayırtması aşağıdaki şekilde gerçekleşmektedir:

$$\Sigma = L\Lambda L' \quad (5)$$

Burada L özvektörlerin (eigenvector) matrisi $p \times p$ ve Λ köşegen üzerinde özdeğerleri olan bir köşegen matristir. Özvektörler, L sütununda gösterilmekte ve

işaret seçimi olarak tanımlanmaktadır. Özvektörler yapısal olarak ortogonal olduklarından:

$$L'L = LL' = I_m \quad (6)$$

Bu durumda $U = YLD^{-1}$, $V = L$ ve $D = (n\Lambda)^{1/2}$ böylece,

$$A = n^{\beta/2}YLD^{-\alpha} \quad (7)$$

$$B = n^{-\beta/2}LD^{-\alpha} \quad (8)$$

A ağırlıklandırılmış temel bileşen puanları ve B ise ağırlıklandırılmış temel bileşen yükleri olarak yorumlanabilir. Söz konusu puanlar ve yükler aşağıdaki özelliklere sahiptir (Eviews, 2020: 1-3):

$$A'A = n^\beta D^{-\alpha} L' Y' YLD^{-\alpha} = n^\beta (n\Lambda)^{-\frac{\alpha}{2}} (n\Lambda) (n\Lambda)^{-\frac{\alpha}{2}} = n^\beta (n\Lambda)^{1-\alpha} \quad (9)$$

$$B'B = n^{-\beta} D^\alpha L' LD^\alpha = n^{-\beta} (n\Lambda)^{-\alpha} \quad (10)$$

$$BB' = n^{-\beta} LD^{2\alpha} L' = n^{-\beta} L (n\Lambda)^\alpha L' \quad (11)$$

Uygun ağırlık ve ölçeklendirme parametresinin seçimiyle, çeşitli özelliklere sahip puanlar ve yüklemeler oluşturulmakta ("Yükleme Ağırlıkları" ve "Gözlem Ölçeklendirme") ve böylece veriler korelasyon matrislerinin analizi için ölçeklendirilmekte ve böülümlenmektedir. Benzer şekilde, ön analiz Spearman sıralaması korelasyonlarını içeriyorsa, veriler, bölümlemeden önce sıralara dönüştürülmektedir. Kendall'in tau'su kullanılarak tahmin edilen dağılım matrisleri için ise bu puanlar hesaplanamamaktadır (Eviews, 2020: 1-3).

Diğer taraftan, normalleştirilmiş yüklemeler (şekil veya JK olarak da adlandırılır) $\alpha = \beta = 0$ şeklinde tanımlanmaktadır. Normalleştirilmiş yüklemelerin ayırtılmasından elde edilen puanlar, varyanslar, ilgili özdeğerlere karşılık gelmektedir. Bunu görmek için, (2)(3)(4) nolu denklemler kullanılarak $Y = JK'$ denklemi türetilmiş, buradan:

$$J = YL \quad (12)$$

$$K = L \quad (13)$$

Buradan, J skorları ve K yükleri modellenirse;

$$J'J = n\Lambda \quad (14)$$

$$K'K = I_p \quad (15)$$

köşegen üzerinde kendi değerleri olan köşegen matris norm olduğundan, J satırların ana koordinatlarda olduğu söylenebilir. K Sütunları standart koordinatlardan olmakla birlikte K ortonormaldır (Aitchison & Greenacre, 2002: 378). JK tanımlanırken, bir Satır Koruyucu Metrik (Row Preserving Metric-RPM) bulunmakta çünkü ilk ölçek gözlemlerle korunmaktadır. Bunun yanında, normalleştirilmiş puanlar tanımlanarak (kovaryans veya GH olarak da adlandırılır) buradaki ayrışma $\alpha = 1$ şeklinde ifade edilir. Ardından, $Y = GH'$

$$G = n^{\beta/2}YLD^{-1} \quad (16)$$

$$H = n^{-\beta/2}LD \quad (17)$$

ve formül (9)(10)(11)'de yer alan vektörler kullanılarak, aşağıdaki denklemlere ulaşılmaktadır:

$$G'G = n^\beta I_p \quad (18)$$

$$H'H = n^{-\beta} (n\Lambda) \quad (19)$$

$$HH' = n^{-\beta} L(n\Lambda)L' = n^{1-\beta} \Sigma \quad (20)$$

Bu faktörler için G ortonormaldır (bir ölçek faktörüne kadar) ve buradaki H vektörü n zamanında diagonal (köşegen) üzerindeki özdeğerleri ile diagonal matrise oranlanmıştır. Böylece, ana koordinatlar içerisindeki H yüklemelerine ait değişkenler, ana koordinatlar içerisinde ve G skorları da standart koordinatlar içerisinde (böylece varyansları aynıdır) görülebilmektedir. GH spesifikasyonu bazen Sütun Ölçüsü Koruma (Column Metric Preserving-CMP) spesifikasyonu olarak anılmaktadır. GH ayrıştırması sonucu yorumlanırken, gözlemler arasındaki Öklid mesafelerinin Mahalanobis (1936: 49-55) mesafeleriyle orantılı olduğunu unutulmamalıdır. Ayrıca, sütunların H normları faktör kovaryansları ile orantılıdır ve vektörler arasındaki açıların kosinüsleri değişkenler arasındaki korelasyonlara yaklaşık olarak gösterilmektedir. Uçlar arasında uzanan sonsuz sayıda alternatif ölçeklendirme vardır. Bir diğer alternatif, puanları ve yüklemeleri eşit olarak $\alpha = 0,5$ şeklinde ağırlıklandırarak ve böylece SQ veya simetrik biplot'u $Y = SQ'$ şeklinde ifade etmektir;

$$S = n^{\beta/2} YLD^{-1/2} \quad (21)$$

$$Q = n^{-\beta/2} LD^{1/2} \quad (22)$$

S skorları ve Q yüklerinin vektörleri değerlendirilerek;

$$S'S = n^\beta (n\Lambda)^{1/2} \quad (23)$$

$$Q'Q = n^{-\beta} (n\Lambda)^{1/2} \quad (24)$$

böylece hem gözlemlerin hem de değişkenlerin vektörleri özdeğerlerin karekökleriyle orantılıdır. Yukarıdaki modelin ayrıştırılmasında β parametresi skorların ve yüklerin ölçeklendirilmesine izin vermektedir. Ölçekleme parametresi için iki belirgin seçenek vardır. İlk olarak, örnek boyutunu $\beta = 0$ göz ardi edilebilmektedir, böylece;

$$A'A = (n\Lambda)^{1-\alpha} \quad (25)$$

$$B'B = (n\Lambda)^\alpha \quad (26)$$

Gözlem ayarlaması olmadan, skorların vektör puanı $(n\Lambda)^{1-\alpha}$, skorların varyansı $A^{1-\alpha}/n^\alpha$ ile değişkenlerin vektörünü α gücüne yükseltlen n^α zamanlı özdeğerlerinin çarpımına eşittir. Puanların gözlemlenen varyansı buna eşit olmamakla birlikte, $\Lambda^{1-\alpha}$ 'a oranlanmak yerine, yüklerinin vektörü sadece Λ^α 'a oranlanmaktadır. Alternatif olarak, $\beta = \alpha$ şeklinde belirlenmesi durumunda,

$$A'A = n^\alpha (n\Lambda)^{1-\alpha} = n\Lambda^{1-\alpha} \quad (27)$$

$$B'B = n^{-\alpha} (n\Lambda)^\alpha = \Lambda^\alpha \quad (28)$$

örneklemi boyutu ayarlanırken skorların varyansı $\Lambda^{1-\alpha}$, değişkenlerin vektör değerlerine Λ^α eşit olacaktır (Eviews, 2020: 1-3).

Yukarıdaki ayırtırmalarda, β ile parametreleştirilmiş puanların ve yüklerin gözlem ölçeklendirmesi yapılmaktadır. Ölçekleme parametresi β için iki seçenek bulunmaktadır. İlk olarak, $\beta=0$ olacak şekilde ayarlayarak örnek boyutu yok sayılabilir:

$$A'A = (n\Lambda)^{1-\alpha} \quad (29)$$

$$B'B = (n\Lambda)^\alpha \quad (30)$$

Gözlem ayarlaması olmadan, puanların şekli $(n\Lambda)^{1-\alpha}$ puanların varyansına $\Lambda^{1-\alpha}/n^\alpha$ ve değişkenlerin normunun α gücüne yükseltilen özdeğerlerinin n^α zamanlı çarpımına eşittir. Puanların gözlemlenen varyansı eşit olmayıp, bunun yerine sadece $\Lambda^{1-\alpha}$ 'a ve yüklerin şekli de sadece Λ^α 'a orantılı olmaktadır.

Alternatif olarak, $\beta=\alpha$ şeklinde belirlenebilir, böylece:

$$A'A = n^\alpha(n\Lambda)^{1-\alpha} = n\Lambda^{1-\alpha} \quad (31)$$

$$B'B = n^{-\alpha}(n\Lambda)^\alpha = \Lambda^\alpha \quad (32)$$

Bu örneklem boyutu ayarlamasıyla, puanların varyansı $\Lambda^{1-\alpha}$, ya ve değişkenlerin şekli Λ^α 'a eşittir. Gabriel (1971: 453-467), kümelenen çiftler için bir temel bileşen ayırtımasının kullanılmasını önermektedir. Denklem (9)(10)(11) ile ilgili normlar şu şekilde verilmektedir:

$$G'G = nI_P \quad (33)$$

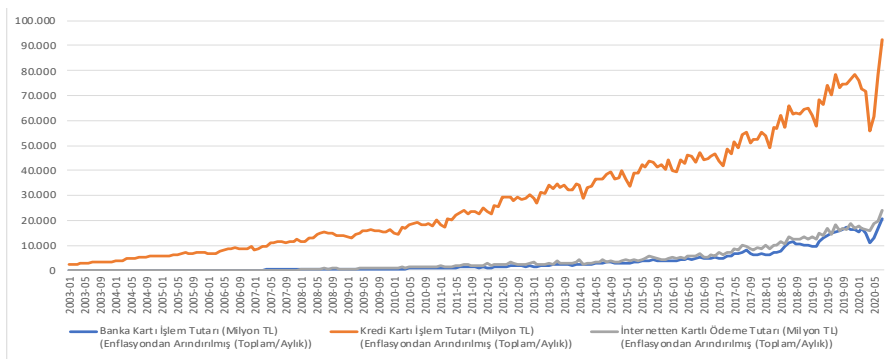
$$H'H = \Lambda \quad (34)$$

$$HH' = \Sigma \quad (35)$$

Gözlem ölçeklendirmesi yapılarak, puanlar, varyansları (şekilleri yerine) 1'e eşit olacak şekilde normalleştirilmiştir. Ayrıca, noktalar arasındaki Öklid mesafeleri eşittir. Mahalanobis mesafeleri kullanılarak, sütunların şekilleri özdeğerlere eşitlenmekte ve vektörler arasındaki açıların kosinüsleri değişkenler arasındaki korelasyonlara eşit olmaktadır. Gözlem ölçeklendirmesi olmadan, bu sonuçlar yalnızca sabit bir orantılılık sağlamaktadır (Eviews, 2020: 1-3).

5. ANALİZ SONUÇLARI

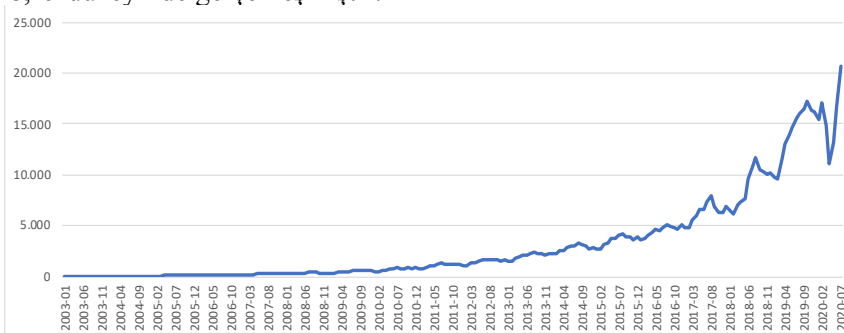
Enflasyondan arındırılmış Banka Kartı, Kredi Kartı ve İnternetten Kartlı İşlem Tutarları (Milyon TL) incelendiğinde özellikle Ocak – Nisan 2020 (pandemi) döneminde Banka Kartı İşlem Tutarı %38,85 düzeyinde, Kredi Kartı İşlem Tutarı %36,59 düzeyinde ve İnternetten Kartlı İşlem Tutarı ise %12,03 düzeyinde düşüş göstermiş, dördüncü aydan itibaren tekrar yükseliş devam etmiştir. Söz konusu dönemdeki ortalama düşüş %29,15 düzeyindedir (Şekil 1).



Şekil 1. Banka Kartı, Kredi Kartı ve İnternetten Kartlı İşlem Tutarları(Milyon TL) (Enflasyondan Arındırılmış (Toplam/Aylık))

Kaynak: Bankalararası Kart Merkezi Verileri (Ocak 2002- Temmuz 2020) Analiz Edilerek Üretilmiştir.

Banka Kartı Ödeme İşlem Tutarları analiz edildiğinde özellikle Ocak-Nisan 2020 (Pandemi Dönemi) döneminde genel toplam bazında düşüş %38,85 düzeyinde olmakla birlikte (Şekil 2), bazı sektörlerde diğer sektörlerle kıyasla daha sert düşüşler olduğu gözlemlenmektedir. Havacılık sektöründe işlem tutarlarında belirtilen dönemde yaşanan düşüş Ocak – Nisan 2020 döneminde %1843,66 düzeyinde, konaklama sektöründe %1216,93 düzeyinde, kumarhane/içkili yerler sektöründe ise %1918,49 düzeyinde gerçekleşmiştir.

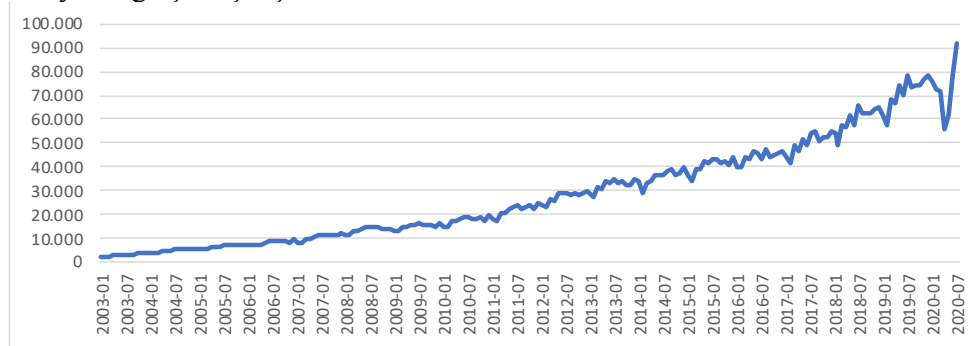


Şekil 2. Banka Kartı İşlem Tutarı (Milyon TL) (Enflasyondan Arındırılmış(Toplam/Aylık))

Kaynak: Bankalararası Kart Merkezi Verileri (Ocak 2002- Temmuz 2020) Analiz Edilerek Üretilmiştir.

Kredi Kartı Ödeme İşlem Tutarları analiz edildiğinde ise özellikle Ocak-Nisan 2020 döneminde genel toplam bazında düşüş %36,59 düzeyinde olmakla birlikte (Şekil 3), bazı sektörlerde diğer sektörlerle kıyasla daha sert düşüşler olduğu gözlemlenmektedir. Havacılık sektöründe işlem tutarlarında belirtilen dönemde yaşanan düşüş Ocak – Nisan 2020 döneminde %2500,35 düzeyinde, konaklama

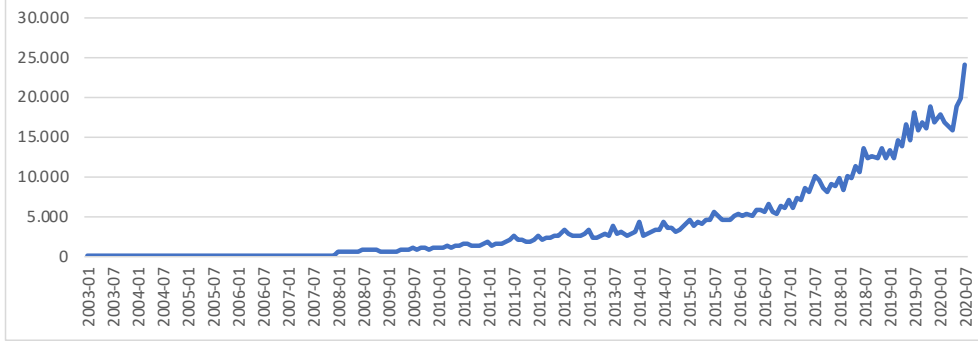
sektöründe %1381,69 düzeyinde, kumarhane/çekili yerler sektöründe ise %686,17 düzeyinde gerçekleşmiştir.



Şekil 3. Kredi Kartı İşlem Tutarı (Milyon TL) (Enflasyondan Arındırılmış Toplam/Aylık)

Kaynak: Bankalararası Kart Merkezi Verileri (Ocak 2002- Temmuz 2020) Analiz Edilerek Üretilmiştir.

İnternetten Kartlı Ödeme İşlem Tutarı analiz edildiğinde ise özellikle Ocak-Nisan 2020 döneminde genel toplam bazında düşüş %12,03 düzeyinde olmakla birlikte (Şekil 4), bazı sektörlerde diğer sektörlerle kıyasla daha sert düşüşler olduğu gözlemlenmektedir. Havayolları sektöründe işlem tutarlarında belirtilen dönemde yaşanan düşüş Ocak – Nisan 2020 döneminde %2431,57 düzeyinde, seyahat acenteleri/taşımacılık sektöründe %1112,09 düzeyinde, konaklama sektöründe ise %1309,75 düzeyinde gerçekleşmiştir.



Şekil 4. Internetten Kartlı Ödeme İşlem Tutarı (Milyon TL) (Enflasyondan Arındırılmış Toplam/Aylık)

Kaynak: Bankalararası Kart Merkezi Verileri (Ocak 2002- Temmuz 2020) Analiz Edilerek Üretilmiştir.

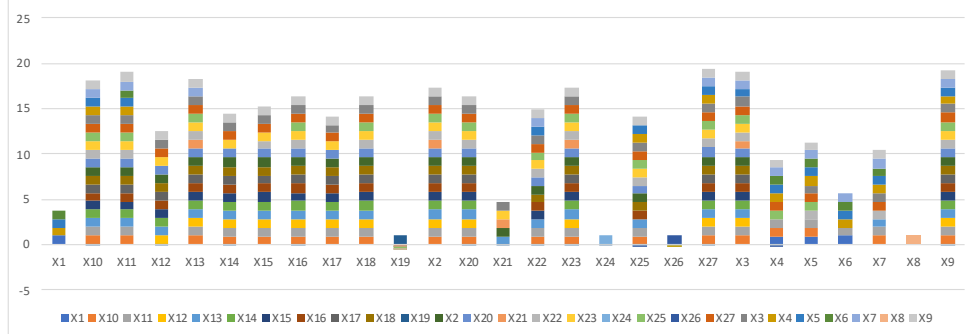
Verilerin tarihsel standart sapmaları (Ocak 2003-Temmuz 2020) üzerinden yapılan analiz neticesinde;

- Banka Kartı İşlem Tutarları içerisinde en düşük sapmanın Araba Kiralama, Sigorta, Kulüp/Dernek/Sosyal Hizmetler ve Müteahhit İşleri sektörlerinde, en

yüksek standart sapma ise yemek, Market ve alışveriş merkezleri, çeşitli gıda ve diğer sektörlerde yaşandığı,

- Kredi Kartı İşlem Tutarları içerisinde en düşük sapmanın Araba Kiralama, Araç Kiralama-Satış/Servis/Yedek Parça, Kumarhane/İçkili Yerler ve Kulüp/Dernek/Sosyal Hizmetler sektörlerinde, en yüksek standart sapmanın ise Benzin ve Yakıt İstasyonları, Market ve Alışveriş Merkezleri, Doğrudan Pazarlama ve Diğer sektörlerde yaşandığı,

- Internetten Kartlı Ödeme Tutarları içerisinde en düşük sapmanın Araba Kiralama, Kumarhane/İçkili Yerler, Çeşitli Gıda ve Bireysel Emeklilik sektörlerinde, en yüksek standart sapmanın ise Havayolları, Elektrik-Elektronik Eşya, Bilgisayar, Hizmet Sektörleri ve Sigorta sektöründe yaşandığı görülmüştür.

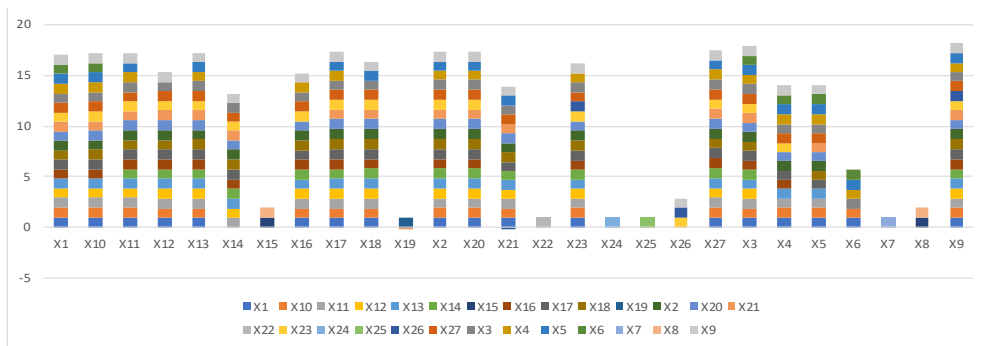


Şekil 5. Banka Kartı İşlem Tutarı Korelasyon Matrisi (Milyon TL) (Enflasyondan Arındırılmış (Toplam/Aylık))

Not: Pozitif Korelasyon ($>0,90$) ve Negatif Korelasyon (<0) Değerler Seçilmiştir.

Kaynak: Bankalararası Kart Merkezi Verileri (Ocak 2002- Temmuz 2020) Analiz Edilerek Üretilmiştir.

Sektörler arası ilişkilerin analiz edilmesi maksadıyla oluşturulan korelasyon matrisleri üzerinden yapılan analiz neticesinde, bazı sektörlerin diğer sektörler ile negatif korelasyon ilişkisi içerisinde bulunduğu, diğer sektörlerin ise aralarında yüksek pozitif korelasyon gösterdiği görülmektedir. Banka Kartı İşlem Tutarları içerisinde, Doğrudan Pazarlama (X19) sektörünün tüm sektörler ile negatif korelasyon ilişkisi olduğu, Kamu/Vergi Ödemeleri (X25) ile Doğrudan Pazarlama (X19)(-0,11), Bireysel Emeklilik (X26)(-0,02) sektörleri arasında negatif korelasyon ilişkisi olduğu, Bireysel Emeklilik (X26) ile Doğrudan Pazarlama (X19)(-0,04), Kamu/Vergi Ödemeleri (X25)(-0,02) ve Havayolları (X4)(-0,0082) arasında negatif korelasyon ilişkisi olduğu, diğer sektörlerin ise birbirile pozitif korelasyon ilişkisi olduğu görülmektedir (Şekil 5).

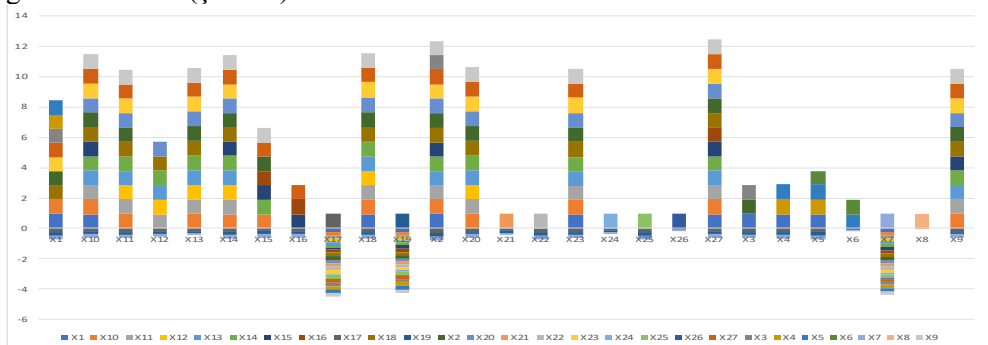


Şekil 6. Kredi Kartı İşlem Tutarı Korelasyon Matrisi (Milyon TL) (Enflasyondan Arındırılmış (Toplam/Aylık))

Not: Pozitif Korelasyon ($>0,90$) ve Negatif Korelasyon (<0) Değerler Seçilmiştir.

Kaynak: Bankalararası Kart Merkezi Verileri (Ocak 2002- Temmuz 2020) Analiz Edilerek Üretilmiştir.

Kredi Kartı İşlem Tutarları içerisinde, Doğrudan Pazarlama (X19) sektörü ile Kulüp/Dernek/Sosyal Hizmetler sektörünün (X21)(-0,05) negatif korelasyon ilişkisi içerisinde olduğu, diğer sektörlerin ise birbirile pozitif korelasyon içerisinde olduğu görülmektedir (Şekil 6).



Şekil 7. İnternetten Kartlı Ödeme Tutarı Korelasyon Matrisi (Milyon TL)(Enflasyondan Arındırılmış (Toplam/Aylık))

Not: Pozitif Korelasyon ($>0,90$) ve Negatif Korelasyon (<0) Değerler Seçilmiştir.

Kaynak: Bankalararası Kart Merkezi Verileri (Ocak 2002- Temmuz 2020) Analiz Edilerek Üretilmiştir.

İnternetten Kartlı Ödeme Tutarları içerisinde, Sigorta (X17), Doğrudan Pazarlama (X19) ve Kumarhane/İçkili Yerler (X7) sektörleri ile tüm sektörler arasında negatif korelasyon ilişkisi olduğu, Araba Kiralama sektörü (X1) ile Bireysel Emeklilik (X26)(-0,03) arasında negatif korelasyon, Araç Kiralama/Satış/Servis/Yedek Parça (X2) sektörü ile Kamu/Vergi Ödemeleri (X25)(-0,03) sektörleri arasında negatif korelasyon ilişkisi olduğu, diğer sektörlerin ise birbirile pozitif korelasyon içerisinde olduğu görülmektedir (Şekil 7).

Sektörlerarası ilişkileri ortaya koymak üzere oluşturulan temel bileşenler analizi sonuçları ile korelasyon analizi sonuçları karşılaştırılarak benzerlik ve farklar ortaya konulacaktır. Temel bileşenler analizi 211 adet gözlem ile 2003-01 ile 2020-07 dönemlerini kapsayacak şekilde Banka Kartı (Tablo 2), Kredi Kartı (Tablo 3) ve Internetten Kartlı Ödeme sistemleri (Tablo 3) için yapılmıştır.

Tablo 2. Banka Kartı İşlem Tutarı (Milyon TL) Temel Bileşenler Analizi (Özdeğerler, Özvektörler (Yükler) ve Sıradan Korelasyonlar)

Matrisin birinci bölümünde, özdeğerler, değerler, özdeğerlerdeki ileriye doğru fark, açıklanan toplam varyans oranı gibi sonuçlar özetlenmektedir. İkinci bölüm doğrusal kombinasyon katsayılarını açıklamaktadır. Bileşenler (“PC” olarak etiketlenmiş) arasındaki doğrusal kombinasyonlar pozitif, negatif yükler ise doğrusal

olmayan kombinasyonlar olarak yorumlanabilir. Üçüncü bölümde ise hesaplanan korelasyon matrisi sonuçları gösterilmektedir (Tablo 2-3-4).

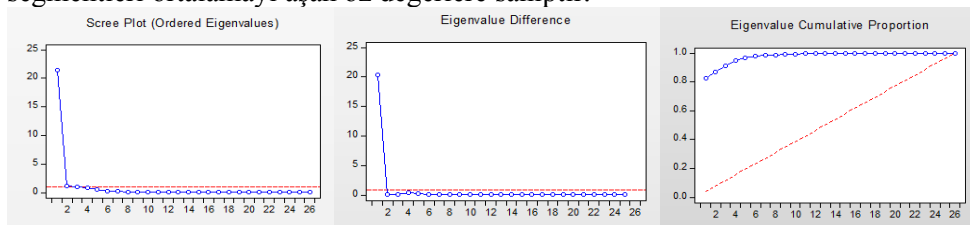
Tablo 3. Kredi Kartı İşlem Tutarı (Milyon TL) Temel Bileşenler Analizi (Özdeğerler, Özvektörler (Yükler) ve Sıradan Korelasyonlar)

Tablo 4. İnternetten Kart ile Yapılan Ödeme Tutarı (Milyon TL) Temel Bileşenler Analizi (Özdeğerler, Özvektörler (Yükler) ve Sıradan Korelasyonlar)

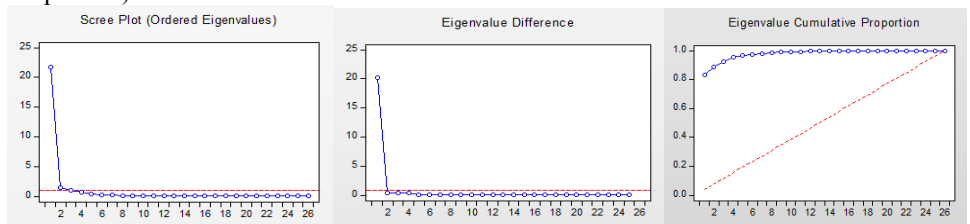
Principal Components Analysis										
Date: 09/24/20 Time: 02:48										
Sample: 2003M01 2020M07										
Included observations: 211										
Computed using: Ordinary correlations										
Extracting 26 of possible components										
Eigenvalues: (Sum = 26, Average = 1)										
Number Value Difference Proportion Cumulative Cumulative Value Proportion										
1 1.830.387 1.575.611 0.7040 1.830.387 0.7040										
2 2.587.760 1.261.383 0.6988 2.097.163 0.6928										
3 1.263.200 0.627.729 0.6950 0.6561 0.6950										
4 0.705762 0.16712 0.0219 0.356.286 0.5213										
5 0.410160 0.081538 0.0155 2.455.471 0.5367										
6 0.302967 0.061523 0.0149 0.0162 0.5366										
7 0.288604 0.047951 0.0110 2.465.163 0.5069										
8 0.288604 0.047951 0.0092 0.252.065 0.5703										
9 0.170117 0.032967 0.0093 0.250.079 0.5798										
10 0.137446 0.026867 0.0093 0.252.792 0.5818										
11 0.109235 0.019159 0.0028 2.577.143 0.5912										
12 0.062462 0.017128 0.0024 0.019 0.5921										
13 0.073925 0.015159 0.0028 2.570.903 0.5888										
14 0.062462 0.017128 0.0024 0.257.714 0.5912										
15 0.050981 0.005054 0.0119 2.562.212 0.5932										
16 0.050981 0.005054 0.0119 0.019 0.5949										
17 0.029367 0.023338 0.0011 2.566.714 0.5960										
18 0.027081 0.008677 0.0010 2.562.426 0.5971										
19 0.025195 0.005221 0.0010 2.564.938 0.5981										
20 0.019506 0.003641 0.0010 2.566.538 0.5987										
21 0.019506 0.003641 0.0010 0.019 0.5993										
22 0.008223 0.001769 0.0003 2.566.374 0.5994										
23 0.006464 0.001161 0.0002 2.569.020 0.5996										
24 0.005202 0.002287 0.0002 2.569.550 0.5998										
25 0.003030 0.001517 0.0001 2.569.851 0.5999										
26 0.014462 — 0.0001 2.600.000 10.000										
Eigenvectors (loadings):										
Variable	PC 1	PC 2	PC 3	PC 4	PC 5	PC 6	PC 7	PC 8	PC 9	
X1	0.209818 -0.053850 -0.201231 0.039514 -0.152588 -0.079526 -0.052574 -0.050533 0.038515									
X2	0.208080 0.005467 -0.162497 -0.021115 -0.050427 -0.050564 -0.050502 0.026059 0.030852									
X3	0.221727 0.020962 -0.163421 -0.023608 -0.151192 0.121090 0.057930 -0.067531 0.037228									
X4	0.062462 0.043304 -0.162177 -0.056330 0.026727 0.056365 0.056395 0.026077 0.058541									
X5	0.238121 0.067912 -0.193034 -0.044362 0.038532 0.056527 0.056561 0.028263 0.028389									
X6	0.208080 0.005467 -0.162497 -0.021115 -0.050427 -0.050564 -0.050502 0.026059 0.030852									
X7	0.222445 0.020962 -0.163421 -0.023608 -0.151192 0.121090 0.057930 -0.067531 0.037228									
X8	0.214462 0.013984 -0.044247 -0.023606 0.029707 0.174226 -0.056583 0.056547 -0.058427									
X9	0.258620 0.047319 0.185520 0.016462 0.038567 0.056527 0.056561 0.028263 0.030852									
X10	0.284942 0.068882 0.185520 0.023731 0.046615 0.056562 0.056598 0.028263 0.030852									
X11	0.229170 0.020962 -0.163421 -0.023608 -0.151192 0.121090 0.057930 -0.067531 0.037228									
X12	0.238121 0.067912 -0.193034 -0.044362 0.038532 0.056527 0.056561 0.028263 0.030852									
X13	0.238121 0.067912 -0.193034 -0.044362 0.038532 0.056527 0.056561 0.028263 0.030852									
X14	0.238121 0.067912 -0.193034 -0.044362 0.038532 0.056527 0.056561 0.028263 0.030852									
X15	0.238121 0.067912 -0.193034 -0.044362 0.038532 0.056527 0.056561 0.028263 0.030852									
X16	0.238121 0.067912 -0.193034 -0.044362 0.038532 0.056527 0.056561 0.028263 0.030852									
X17	0.238121 0.067912 -0.193034 -0.044362 0.038532 0.056527 0.056561 0.028263 0.030852									
X18	0.238121 0.067912 -0.193034 -0.044362 0.038532 0.056527 0.056561 0.028263 0.030852									
X19	0.238121 0.067912 -0.193034 -0.044362 0.038532 0.056527 0.056561 0.028263 0.030852									
X20	0.238121 0.067912 -0.193034 -0.044362 0.038532 0.056527 0.056561 0.028263 0.030852									
X21	0.238121 0.067912 -0.193034 -0.044362 0.038532 0.056527 0.056561 0.028263 0.030852									
X22	0.238121 0.067912 -0.193034 -0.044362 0.038532 0.056527 0.056561 0.028263 0.030852									
X23	0.238121 0.067912 -0.193034 -0.044362 0.038532 0.056527 0.056561 0.028263 0.030852									
X24	0.238121 0.067912 -0.193034 -0.044362 0.038532 0.056527 0.056561 0.028263 0.030852									
X25	0.238121 0.067912 -0.193034 -0.044362 0.038532 0.056527 0.056561 0.028263 0.030852									
X26	0.238121 0.067912 -0.193034 -0.044362 0.038532 0.056527 0.056561 0.028263 0.030852									
X27	0.238121 0.067912 -0.193034 -0.044362 0.038532 0.056527 0.056561 0.028263 0.030852									
X28	0.238121 0.067912 -0.193034 -0.044362 0.038532 0.056527 0.056561 0.028263 0.030852									
X29	0.238121 0.067912 -0.193034 -0.044362 0.038532 0.056527 0.056561 0.028263 0.030852									
X30	0.238121 0.067912 -0.193034 -0.044362 0.038532 0.056527 0.056561 0.028263 0.030852									
X31	0.238121 0.067912 -0.193034 -0.044362 0.038532 0.056527 0.056561 0.028263 0.030852									
X32	0.238121 0.067912 -0.193034 -0.044362 0.038532 0.056527 0.056561 0.028263 0.030852									
X33	0.238121 0.067912 -0.193034 -0.044362 0.038532 0.056527 0.056561 0.028263 0.030852									
X34	0.238121 0.067912 -0.193034 -0.044362 0.038532 0.056527 0.056561 0.028263 0.030852									
X35	0.238121 0.067912 -0.193034 -0.044362 0.038532 0.056527 0.056561 0.028263 0.030852									
X36	0.238121 0.067912 -0.193034 -0.044362 0.038532 0.056527 0.056561 0.028263 0.030852									
X37	0.238121 0.067912 -0.193034 -0.044362 0.038532									

çizgi de gösterilmektedir (bu, korelasyon matrislerinde gerçekleştirilen özdeğer analizi için her zaman 1'dir).

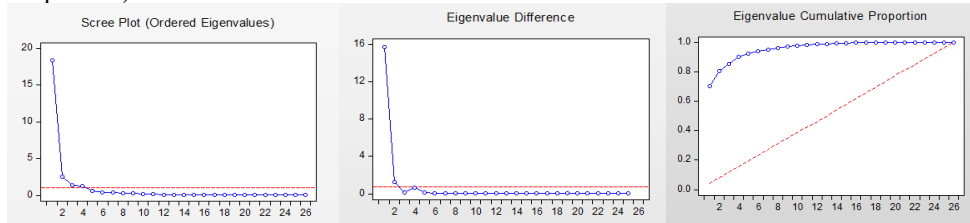
Yanındaki özdeğerler farkı grafiği ise toplam varyansın kümülatif oranını göstermektedir. Köşegen referans çizgisi (en sağdaki), özdeğerlerin boyutunu değerlendirmek için alternatif bir yöntem sunar. Referans çizgisinin eğimi, kümülatif oranın eğimi ile karşılaştırılabilir; ikincisinin referans çizgisinden daha dik olan segmentleri ortalamayı aşan öz değerlere sahiptir.



Şekil 8. Banka Kartı İşlem Tutarı; Özdeğerler (Scree Plot), Özdeğerler Farkı (Eigenvalue Difference) ve Açıklanan Varyansın Kümülatif Oranı (Eigenvalue Cumulative Proportion) Grafikleri



Şekil 9. Kredi Kartı İşlem Tutarı; Özdeğerler (Scree Plot), Özdeğerler Farkı (Eigenvalue Difference) ve Açıklanan Varyansın Kümülatif Oranı (Eigenvalue Cumulative Proportion) Grafikleri

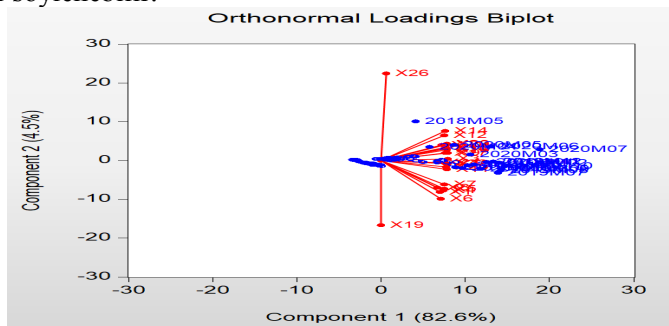


Şekil 10. İnternetten Kart ile Yapılan Ödeme Tutarı; Özdeğerler (Scree Plot), Özdeğerler Farkı (Eigenvalue Difference) ve Açıklanan Varyansın Kümülatif Oranı (Eigenvalue Cumulative Proportion) Grafikleri

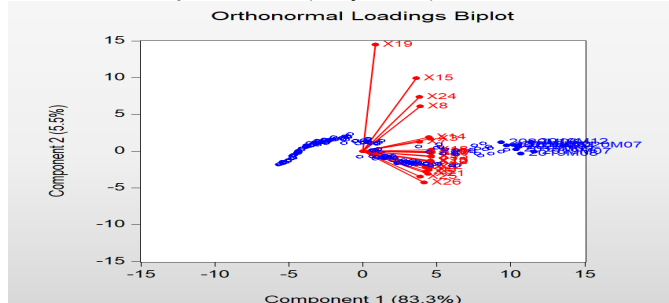
Banka Kartı İşlem Tutarları için oluşturulan temel bileşenler analizinden elde edilen özdeğerler, özvektörler (yükler) ve sıradan korelasyon sonuçları ikili yük grafik düzleminde birleştirilerek, Mahalanobis mesafeleri kullanılarak (noktalar arasındaki Öklid mesafeleri eşittir) sütunların şekilleri özdeğerlere eşitlenmekte ve vektörler arasındaki açıların kosinusları değişkenler arasındaki korelasyonlara eşit

olacak şekilde gözlem ölçeklendirmesi olmadan, sonuçlar yalnızca sabit bir orantılılık içerisinde yorumlanmaktadır.

Banka Kartı İşlem Tutarı, otonormal ikili yükleme grafiği sonuçları (Şekil 11) incelendiğinde, bileşen puanları daire şeklinde gösterilir ve değişken yüklemeler, değişken etiketleri başlangıç noktasından itibaren çizgiler olarak görüntülenmektedir. Biplot, ilk bileşen (Component 1) (tarihsel değişim oranları) için Bireysel Emeklilik (X26) ve Doğrudan Pazarlama (X19) hariç pozitif yükler sahip olduğunu açıkça göstermektedir. İkinci bileşen için (Component 2) Bireysel Emeklilik (X26) pozitif yükler, Doğrudan Pazarlama (X19) ise negatif yükler sahiptir. Banka Kartı işlem tutarları açısından Bireysel Emeklilik (X26) ile Doğrudan Pazarlama (X19) sektörlerinin diğer değişkenlerden ciddi ölçüde ayırtıldığı ve iki değişkenin tamamen birbirlerine zıt yönlü olarak (negatif korelasyon içinde) hareket ettiği söylenebilir.



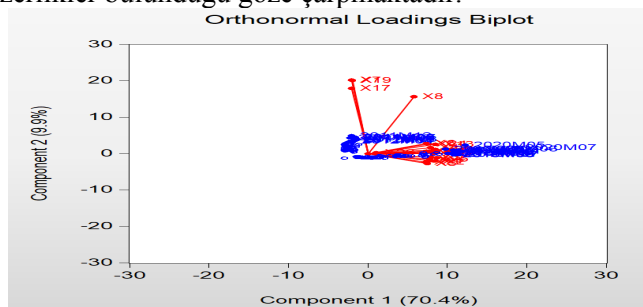
Şekil 11. Banka Kartı İşlem Tutarı (Milyon TL) Ortonormal İkili Yükler Grafiği



Şekil 12. Kredi Kartı İşlem Tutarı (Milyon TL) Ortonormal İkili Yükler Grafiği

Kredi Kartı İşlem Tutarı, otonormal ikili yükler grafiği sonuçları (Şekil 12) incelendiğinde (Biplot), ilk bileşen (Component 1) (tarihsel değişim oranları) için Doğrudan Pazarlama (X19) hariç diğer değişkenlerin pozitif yükler sahip olduğunu (pozitif korelasyon) açıkça göstermektedir. İkinci bileşen için (Component 2) Doğrudan Pazarlama (X19), Telekomünikasyon (X15), Diğer (X24) ve Kuyumcular (X8) sektörlerinin ise pozitif yükler sahip olduğu ve birbirlerine benzeşerek diğer

sektörlerden ayırttiği söylenebilir. Korelasyon analizi sonuçlarına benzer şekilde özellikle Doğrudan Pazarlama (X19), Telekomünikasyon (X15), Diğer (X24) ve Kuyumcular (X8) sektörlerinde kredi kartı işlem tutarları ve sektör özellikleri açısından benzerlikler bulunduğu göze çarpmaktadır.



Şekil 13. Internetten Kartı Ödeme Tutarı (Milyon TL) Ortonormal İkili Yükler Grafiği
Internetten Kartlı Ödeme Tutarı, otonormal ikili yükler grafiği sonuçları (Şekil 13) incelendiğinde (Biplot), ilk bileşen (Component 1) (tarihsel değişim oranları) için Doğrudan Pazarlama (X19), Sigorta (X17) ve Kumarhane/İçkili Yerler (X7) hariç diğer değişkenlerin pozitif yüklerle sahip olduğunu (pozitif korelasyon) açıkça göstermektedir. İkinci bileşen için (Component 2) Doğrudan Pazarlama (X19), Sigorta (X17) ve Kumarhane/İçkili Yerler (X7) ve Kuyumcular (X8) sektörlerinin ise pozitif yüklerle sahip olduğu ve birbirlerine benzeşerek diğer sektörlerden ayırtıldığı söylenebilir. Korelasyon analizi sonuçlarına benzer Doğrudan Pazarlama (X19), Sigorta (X17) ve Kumarhane/İçkili Yerler (X7) ve Kuyumcular (X8) sektörlerinde internetten kartlı ödeme işlem tutarları ve sektör özellikleri açısından benzerlikler bulunduğu göze çarpmaktadır.

5. SONUÇ ve ÖNERİLER

Elde edilen bulgular ışığında, Banka Kartı İşlem Tutarı otonormal ikili yükleme grafiği sonuçları (Şekil 11) ve korelasyon analizi sonuçları incelendiğinde; birinci bileşen olarak seçilen tarihsel varyanslar açısından Bireysel Emeklilik (X26) ve Doğrudan Pazarlama (X19) hariç diğer sektörlerin pozitif yüklerle sahip olduğu açıkça görülmektedir. İkinci bileşen için (Component 2)(sektörel etkileşim) Bireysel Emeklilik (X26) pozitif yüklerle, Doğrudan Pazarlama (X19) ise negatif yüklerle sahiptir. Banka Kartı işlem tutarları açısından Bireysel Emeklilik (X26) ile Doğrudan Pazarlama (X19) sektörlerinin diğer değişkenlerden ciddi ölçüde ayırtıldığı ve iki değişkenin tamamen birbirlerine zıt yönlü olarak (negatif korelasyon içinde) hareket ettiği söylenebilir. Bunun yanında, Banka Kartı İşlem Tutarları içerisinde, Kamu/Vergi Ödemeleri (X25) ile Doğrudan Pazarlama (X19)(-0,11), Bireysel Emeklilik (X26)(-0,02) sektörleri arasında negatif korelasyon ilişkisi olduğu, Bireysel Emeklilik (X26) ile Doğrudan Pazarlama (X19)(-0,04), Kamu/Vergi Ödemeleri (X25)(-0,02) ve Havayolları (X4)(-0,0082) arasında negatif korelasyon

ilişkisi olduğu, diğer sektörlerin ise birbiriyle pozitif korelasyon içerisinde olduğu görülmektedir.

Kredi Kartı İşlem Tutarı, otonormal ikili yükler grafiği sonuçları (Şekil 12) ve korelasyon analizi sonuçları incelendiğinde; ilk bileşen (Component 1) (tarihsel değişim oranları) için Doğrudan Pazarlama (X19) hariç diğer değişkenlerin pozitif yükler sahip olduğunu (pozitif korelasyon) açıkça göstermektedir. İkinci bileşen için (Component 2) (sektörel etkileşim) Doğrudan Pazarlama (X19), Telekomünikasyon (X15), Diğer (X24) ve Kuyumcular (X8) sektörlerinin ise pozitif yükler sahip olduğu ve birbirlerine benzeşerek diğer sektörlerden ayrıtiği söylenebilir. Korelasyon analizi sonuçlarına benzer şekilde özellikle Doğrudan Pazarlama (X19), Telekomünikasyon (X15), Diğer (X24) ve Kuyumcular (X8) sektörlerinde kredi kartı işlem tutarları ve sektör özellikleri açısından benzerlikler bulunduğu göze çarpmaktadır. Bunun yanında, Kredi Kartı İşlem Tutarları içerisinde, Doğrudan Pazarlama (X19) sektörü ile Kulüp/Dernek/Sosyal Hizmetler sektörünün (X21)(-0,05) negatif korelasyon ilişkisi içerisinde olduğu, diğer sektörlerin ise birbiriyle pozitif korelasyon içerisinde olduğu görülmektedir.

İnternetten Kartlı Ödeme Tutarı, otonormal ikili yükler grafiği sonuçları (Şekil 13) ve korelasyon analizi sonuçları incelendiğinde; ilk bileşen (Component 1) (tarihsel değişim oranları) için Doğrudan Pazarlama (X19), Sigorta (X17) ve Kumarhane/İçkili Yerler (X7) hariç diğer değişkenlerin pozitif yükler sahip olduğunu (pozitif korelasyon) açıkça göstermektedir. İkinci bileşen için (Component 2) (sektörel etkileşim) Doğrudan Pazarlama (X19), Sigorta (X17) ve Kumarhane/İçkili Yerler (X7) ve Kuyumcular (X8) sektörlerinin ise pozitif yükler sahip olduğu ve birbirlerine benzeşerek diğer sektörlerden ayrıtiği söylenebilir. Korelasyon analizi sonuçlarına benzer Doğrudan Pazarlama (X19), Sigorta (X17) ve Kumarhane/İçkili Yerler (X7) ve Kuyumcular (X8) sektörlerinde internetten kartlı ödeme işlem tutarları ve sektör özellikleri açısından benzerlikler bulunduğu göze çarpmaktadır. Internetten Kartlı Ödeme Tutarları içerisinde, Sigorta (X17), Doğrudan Pazarlama (X19) ve Kumarhane/İçkili Yerler (X7) sektörleri ile tüm sektörler arasında negatif korelasyon ilişkisi olduğu, Araba Kiralama sektörü (X1) ile Bireysel Emeklilik (X26)(-0,03) arasında negatif korelasyon, Araç Kiralama/Satış/Servis/Yedek Parça (X2) sektörü ile Kamu/Vergi Ödemeleri (X25)(-0,03) sektörleri arasında negatif korelasyon ilişkisi olduğu, diğer sektörlerin ise birbiriyle pozitif korelasyon içerisinde olduğu görülmektedir (Şekil 7).

Analiz sonuçları yorumlandığında, ilgili sektörlerde kart kullanımının yaygınlaşması ve artırılmasının özellikle kayıt dışı ekonominin kayıt içine alınması adına önemli olduğu sonucuna varılmaktadır. Bu çalışmada elde edilen bulgular, kart kullanımının sektörler arasındaki etkileşimi açısından ileride yapılacak çalışmalar için bir temel oluşturacaktır.

6. ARAŞTIRMA KISITLARI

Yapılan analizde kullanılan değişkenlerin temel bileşen yapısının analiz edilmesi için korelasyon matrisleri ve ikili yük grafikleri kullanılmış, araştırmada belirlenen sektörler bankalararası kart merkezi tarafından belirlenen sektör sayısı ile sınırlı tutulmuştur.

KAYNAKÇA

- Aitchison, J., & Greenacre, M., "Biplots of compositional data", *Journal of the Royal Statistical Society: Series C (Applied Statistics)*, 51(4), 2002, pp.375-392.
- Bankalararası Kart Merkezi, Aylık Kart Kullanım İstatistikleri
- Berry, M. W., Drmac, Z., & Jessup, E. R., "Matrices, vector spaces, and information retrieval", *SIAM review*, 41(2), 1999, pp.335-362.
- Chou, Y., Lee, C., & Chung, J., "Understanding m-commerce payment systems through the analytic hierarchy process", *Journal of Business Research*, 57(12), 2004, pp.1423-1430.
- Darolles, S., Dubecq, S., & Gouriéroux, C., "Contagion analysis in the banking sector", Available at SSRN 2455826, 2014, pp.1-36
- Eviews, Principal Components, http://www.eviews.com/help/helpintro.html#page/content/groups-Principal_Components.html, (Erişim Tarihi: 25.09.2020)
- Filiz, Z., & Kolukısaoglu, S., "Doğrusal Olmayan Kanonik Korelasyon Analizi ve Lokanta Müşterilerinin Memnuniyeti Üzerinde Bir Uygulama", *Ekev Akademi Dergisi*, Yıl:16, Sayı:51, Bahar 2012, pp.357-368
- Floyd, F.J. and Widaman, K.F. (1995), "Factor analysis in the development and refinement of clinical assessment instruments", *Psychological Assessment*, Vol. 7 No. 3, pp. 286-299.
- Gabriel, K. R., "The biplot graphic display of matrices with application to principal component analysis", *Biometrika*, 58(3), 1971, pp.453-467.
- Hair, J.F., Anderson, R.E. and Tatham, R.L., *Multivariate Data Analysis*, Macmillan, New York, NY, 1998
- Ibrahim, E. E., Joseph, M., & Ibeh, K. I., "Customers' perception of electronic service delivery in the UK retail banking sector", *International Journal of Bank Marketing*, 2006, pp.475-493
- Johnson, R. A., & Wichern, D. W., *Discrimination and classification*, In Applied multivariate statistical analysis, Vol. 4, Prentice-Hall, 1992
- Mahalanobis, P. C., *On the generalized distance in statistics*, National Institute of Science of India, 1936
- Neo, V. W., & Naylor, P. A., "Second Order Sequential Best Rotation Algorithm with Householder Reduction for Polynomial Matrix Eigenvalue Decomposition", In ICASSP 2019-2019 IEEE International Conference on Acoustics, Speech and Signal Processing (ICASSP), May 2019, pp.8043-8047). IEEE.
- Skretting, P. K., "Value at risk analysis by means of random orthogonal matrix simulation", *Master's thesis, University of Stavanger, Norway*, 2013, pp.1-49
- Sørensen, C. K., & Puigvert Gutierrez, J. M., "Euro area banking sector integration: using hierarchical cluster analysis techniques", No. 627, *ECB working paper*, 2006, pp.1-38
- Stewart, D.W., "The application and misapplication of factor analysis in marketing research", *Journal of Marketing Research*, Vol. XVIII, February, 1981, pp. 51-62.
- Türkiye Cumhuriyet Merkez Bankası (TCMB) Elektronik Veri Dağıtım Sistemi (EVDS), <https://evds2.tcmb.gov.tr>, (Erişim Tarihi: 25.09.2020)
- Yılmaz, H., Budak, G. S., & Başaran, B., "Kredi Kartı Kullanım Alışkanlıklarında Kategorik Değişkenler Arasındaki İlişkiler ve Bireylerin Davranışsal Eğilimleri: Bilezik Örneği", *Uluslararası Yönetim İktisat ve İşletme Dergisi*, 9(19), 2013, pp.31-49.
- Zhao, W., Li, H., Jin, M., Liu, Y., & Yoo, S. J., "Enhanced Detection Algorithms Based on Eigenvalues and Energy in Random Matrix Theory Paradigm", *IEEE Access*, 8, 2020, pp.9457-9468.

EKLER

EK-1 Banka Kartı İşlem Tutarı (Milyon TL) Tanımlayıcı İstatistikleri

EK-2 Kredi Kartı İşlem Tutarı (Milyon TL) tanımlayıcı istatistikleri

EK-3 Internetten Kartlı Ödeme Tutarı (Milyon TL) tanımlayıcı istatistikleri.

EK-4 Banka Kartı İşlem Tutarı (Milyon TL) Korelasyon Matrisi. (Yeşil Alanlar Pozitif Korelasyon(>0,95), Kırmızı Alanlar: Negatif Korelasyon (<0))

	X1	X10	X11	X12	X13	X14	X15	X16	X17	X18	X19	X2	X20	X21	X22	X23	X24	X25	X26	X27	X3	X4	X5	X6	X7	X8	X9
X1	1																										
X10	1	0.9655208																									
X11	0.9602280	1	0.9644498																								
X12	0.9602280	1	0.9647117	0.9795000																							
X13	0.9648297	0.9624466	1	0.9647317	0.9795000																						
X14	0.9608810	0.9610120	0.9795004	1	0.9705197																						
X15	0.9608810	0.9610120	0.9795004	1	0.9705197	0.9720330																					
X16	0.9485847	0.9484598	0.9795007	0.9720317	1	0.9632000	0.9641000																				
X17	0.9295750	0.93024	0.9795274	0.9630000	0.9720317	1	0.9602141	1	0.9602141	0.9623400	0.9630000																
X18	0.9403300	0.9406050	0.969866	0.9720317	0.9714400	0.9720317	1	0.9602070	0.9602072	1	0.9602080	0.9717070															
X19	0.959891		0.969868	0.9720317	0.9714400	0.9720317	1	0.9602084	0.9602084	1	0.9602090	0.9717070	0.9203178														
X2	0.9474110	0.9471988	0.9634820	0.9684108	0.9707652	0.9670584	0.981008	0.9636498	0.9820888	1	0.978354	0.9203480	0.9031958	0.9813363													
X3	0.9470071	0.9511000	0.9603848	0.9610215	0.9705180	0.9630981	0.983534	0.9607753	0.9817000	0.9783154	1	0.915018	0.9454062	0.9345202													
X4	0.9602205	0.9602205	0.9602205	0.9602205	0.9602205	0.9602205	0.9602205	0.9602205	0.9602205	0.9602205	0.9602205	1	0.961706	0.9602000	0.9498697												
X5	0.9200000	0.9471970	0.9654202	0.9705173	0.9630160	0.9705173	0.9602141	0.9630010	0.9640507	0.9640507	0.9640507	0.9640507	1	0.916195	0.9602000	0.9498697											
X6	0.9795019		0.9693004	0.9704201																							
X7	0.9710002	0.9600081		0.9704201																							
X8																											
X9	0.965411	0.9602208	0.9546572	0.9764476	0.9503000	0.9671042	0.967221	0.947094	0.9703738	0.0341496	0.9747469	0.9811802	0.9468076	0.9803024	0.9579684												

EK-5 Kredi Kartı İşlem Tutarı (Milyon TL) Korelasyon Matrisi. (Yeşil Alanlar: Pozitif Korelasyon(>0,95), Kırmızı Alanlar: Negatif Korelasyon (<0))

	X1	X10	X11	X12	X13	X14	X15	X16	X17	X18	X19	X2	X20	X21	X22	X23	X24	X25	X26	X27	X3	X4	X5	X6	X7	X8	X9	
X1	1	0.977385	0.942358	0.9521203	0.932376																							
X10	0.977385	1	0.9645208	0.9533337	0.9416164																							
X11	0.942358	1	0.9307010	0.9572547	0.9644330																							
X12	0.9521203	0.9533337	1	0.9647008	0.9591548																							
X13	0.9307010	0.9572547	1	0.9647247	0.9647247																							
X14	0.9644330	0.9416164	1	0.9647247	0.9647247	0.9647247																						
X15	0.9705180	0.9602205	0.9546572	0.9764476	0.9503000	0.9671042	0.967221	0.947094	0.9703738	0.0341496	0.9747469	0.9811802	0.9468076	0.9803024	0.9579684													
X16	0.9771440	0.9477424	0.988869	0.9611864	0.9809785	0.9890940	0.9870040	0.9820940	0.9860040	0.9850040	0.9840040	0.9830040	0.9820040	0.9810040	0.9800040	0.9790040	0.9780040	0.9770040	0.9760040	0.9750040	0.9740040	0.9730040	0.9720040	0.9710040				
X17	0.9546572	0.9494810	0.9671425	0.9878194	0.9771007	0.9614972	0.9650072	0.9600072	0.9550072	0.9500072	0.9450072	0.9400072	0.9350072	0.9300072	0.9250072	0.9200072	0.9150072	0.9100072	0.9050072	0.9000072	0.8950072	0.8900072	0.8850072	0.8800072	0.8750072			
X18	0.9602205	0.9511000	0.9602205	0.9602205	0.9602205	0.9602205	0.9602205	0.9602205	0.9602205	0.9602205	0.9602205	0.9602205	0.9602205	0.9602205	0.9602205	0.9602205	0.9602205	0.9602205	0.9602205	0.9602205	0.9602205	0.9602205	0.9602205	0.9602205				
X19	0.978354	1	0.9617000	0.9644498	0.9705182	0.9602205	0.9602205	0.9602205	0.9602205	0.9602205	0.9602205	0.9602205	0.9602205	0.9602205	0.9602205	0.9602205	0.9602205	0.9602205	0.9602205	0.9602205	0.9602205	0.9602205	0.9602205	0.9602205	0.9602205			
X20	0.9521203	0.9533337	1	0.9647008	0.9591548	0.9644330	0.9644330	0.9644330	0.9644330	0.9644330	0.9644330	0.9644330	0.9644330	0.9644330	0.9644330	0.9644330	0.9644330	0.9644330	0.9644330	0.9644330	0.9644330	0.9644330	0.9644330	0.9644330	0.9644330	0.9644330		
X21	0.9307010	0.9572547	0.9644330	1	0.9647247	0.9647247	0.9647247	0.9647247	0.9647247	0.9647247	0.9647247	0.9647247	0.9647247	0.9647247	0.9647247	0.9647247	0.9647247	0.9647247	0.9647247	0.9647247	0.9647247	0.9647247	0.9647247	0.9647247	0.9647247			
X22																												
X23	0.9803098	0.9541861	0.9371008	0.9602000	0.9390405	0.9309673	0.9620000	0.9620000	0.9590000	0.9560000	0.9530000	0.9500000	0.9470000	0.9440000	0.9410000	0.9380000	0.9350000	0.9320000	0.9311133	0.9099579	0.9041345	0.9013369						
X24																												
X25																												
X26																												
X27	0.959891	0.9727973	0.9654098	0.9744800	0.9367602	0.927372	0.9703808	0.947211	0.9605000	0.9571000	0.9541000	0.9511000	0.9481000	0.9451000	0.9421000	0.9391000	0.9361000	0.9331000	0.9311000	0.9291000	0.9271000	0.9251000	0.9231000	0.9211000	0.9191000			
X28	0.965411	0.9717148	0.9719177	0.9721917	0.9723917	0.9725917	0.9727917	0.9729917	0.9731917	0.9733917	0.9735917	0.9737917	0.9739917	0.9741917	0.9743917	0.9745917	0.9747917	0.9749917	0.9751917	0.9753917	0.9755917	0.9757917	0.9759917	0.9761917	0.9763917			
X29	0.9707493	0.9717148	0.9450495	0.9644330	0.9644330	0.9644330	0.9644330	0.9644330	0.9644330	0.9644330	0.9644330	0.9644330	0.9644330	0.9644330	0.9644330	0.9644330	0.9644330	0.9644330	0.9644330	0.9644330	0.9644330	0.9644330	0.9644330	0.9644330	0.9644330			
X30	0.9707493	0.9717148	0.9719177	0.9721917	0.9723917	0.9725917	0.9727917	0.9729917	0.9731917	0.9733917	0.9735917	0.9737917	0.9739917	0.9741917	0.9743917	0.9745917	0.9747917	0.9749917	0.9751917	0.9753917	0.9755917	0.9757917	0.9759917	0.9761917	0.9763917			
X31	0.9707493	0.9717148	0.9719177	0.9721917	0.9723917	0.9725917	0.9727917	0.9729917	0.9731917	0.9733917	0.9735917	0.9737917	0.9739917	0.9741917	0.9743917	0.9745917	0.9747917	0.9749917	0.9751917	0.9753917	0.9755917	0.9757917	0.9759917	0.9761917	0.9763917			
X32	0.9707493	0.9717148	0.9719177	0.9721917	0.9723917	0.9725917	0.9727917	0.9729917</td																				